

# Постоянное магнитное поле

Мы переходим к изучению второй пары уравнений Максвелла

$$\nabla \mathbf{V} = 0, \quad c^2 \nabla \times \mathbf{V} = \mathbf{j} / \varepsilon_0$$

в случае постоянных полей. Как и в электростатике, мы начнем со случая, когда токи известны. Затем рассмотрим магнетики, в которых, помимо “внешних”, могут существовать и “внутренние” молекулярные токи.

Отметим важное отличие от электростатики. Вычисляя дивергенцию второго уравнения, получим

$$\nabla \mathbf{j} = 0.$$

Это условие на ток должно выполняться, иначе задача неразрешима. В электростатике же никаких ограничений на распределение  $\rho$  не было. Принцип аддитивности тоже имеет ограниченный смысл: нельзя “делить” ток так, чтобы отдельные части не удовлетворяли условию  $\nabla \mathbf{j} = 0$ . Поэтому никакого “точечного тока” (в отличие от точечного заряда) в природе не существует.

**Замечания.** Конечно, движущийся точечный заряд создает магнитное поле, но оно не является постоянным.

Коэффициент  $1/\varepsilon_0 c^2 = \mu_0$  обычно называют магнитной постоянной.

## Постоянное магнитное поле в вакууме

**Векторный потенциал.** Уравнение  $\nabla \mathbf{V} = 0$  в силу одной из “четырех теорем” означает, что  $\mathbf{V} = \nabla \times \mathbf{A}$ . Величину  $\mathbf{A}$  называют *векторным потенциалом*. В некотором смысле это аналог потенциала  $\varphi$  в электростатике. Неопределенность потенциала  $\mathbf{A}$ , однако, несколько больше, чем неопределенность  $\varphi$ . В силу еще одной из “четырех теорем” потенциалы  $\mathbf{A}$  и  $\mathbf{A}' = \mathbf{A} + \nabla f$  приводят к одному и тому же полю  $\mathbf{V}$  при любой функции  $f$ . Выбор конкретной функции  $f$  называют *калибровкой*, а переход от потенциала  $\mathbf{A}$  к потенциалу  $\mathbf{A}'$  — *калибровочным преобразованием*. Функцию  $f$  можно выбрать так, чтобы  $\nabla \mathbf{A}' = 0$ . Действительно, пусть  $f$  удовлетворяет уравнению (Пуассона)  $\Delta f = -\nabla \mathbf{A}$ . Мы видели, что это уравнение при разумных дополнительных условиях разрешимо. Тогда, как легко проверить,  $\nabla \mathbf{A}' = 0$ . Эту калибровку называют *кулоновской*.

**Домашнее задание.** Проверить, что  $\nabla \times (\nabla \times \mathbf{A}) = \nabla(\nabla \mathbf{A}) - \Delta \mathbf{A}$ .

Подставляя  $\mathbf{V} = \nabla \times \mathbf{A}$  в уравнение  $\nabla \times \mathbf{V} = \mu_0 \mathbf{j}$  при условии  $\nabla \mathbf{A} = 0$  получим

$$\Delta \mathbf{A} = -\mu_0 \mathbf{j}.$$

Мы видим, что это уравнение аналогично уравнению  $\Delta \varphi = -\rho/\varepsilon_0$  в электростатике.

**Немного математики.** **Полярные и аксиальные векторы.** При применении соображений симметрии к полю  $\mathbf{V}$  нужно иметь в виду, что это не совсем такой же

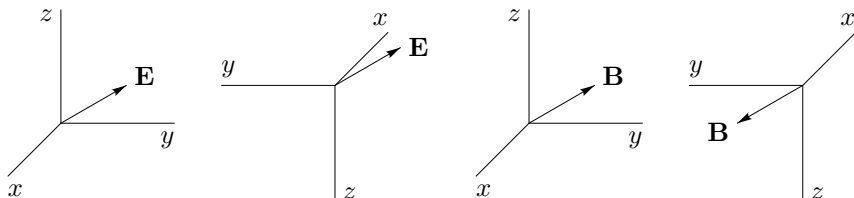
вектор, как  $\mathbf{E}$ . Выше мы говорили, что вектор — это трехкомпонентная величина, компоненты которой при вращении системы координат преобразуются как сами декартовы координаты  $(x, y, z)$ . Однако помимо вращений существуют еще отражения в плоскостях, а также *инверсия* — изменение знака всех трех координат. Нетрудно сообразить, что любое преобразование декартовой системы координат (при котором она остается декартовой) есть либо вращение, либо вращение и инверсия. Проще всего считать, что при инверсии вектор меняет знак (как это происходит с радиус-вектором  $(x, y, z)$ )

$$\mathbf{E} \rightarrow -\mathbf{E}.$$

Однако не приводит к противоречию и такой закон преобразования

$$\mathbf{B} \rightarrow \mathbf{B}.$$

Иначе говоря, на самом деле существует два типа векторов. При вращении они преобразуются одинаково (как координаты), а при инверсии — по-разному. Векторы типа  $\mathbf{E}$  называют *полярными*, а векторы типа  $\mathbf{B}$  — *аксиальными*. Иногда аксиальные векторы называют *псевдовекторами*.



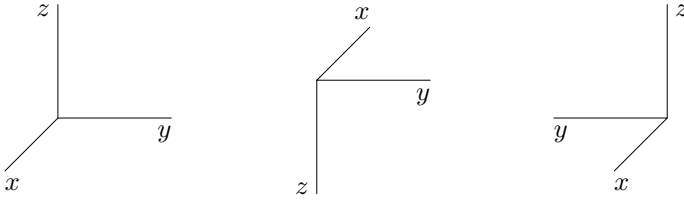
Преобразование электрического поля при инверсии

Преобразование магнитного поля при инверсии

На самом деле с аксиальными векторами мы работаем уже давно. Когда в прошлом семестре мы имели дело с моментом импульса или угловой скоростью, то это были аксиальные векторы. Действительно, момент импульса материальной точки равен  $\mathbf{l} = m\mathbf{r} \times \mathbf{v}$ . В компонентах это означает, например,  $l_x = m(yv_z - zv_y)$ . Очевидно, что при инверсии, то есть при изменении знака векторов  $\mathbf{r}$  и  $\mathbf{v}$  одновременно, знаки компонент момента импульса не меняются. Аналогично для угловой скорости  $\mathbf{v}_B = \mathbf{v}_A + \boldsymbol{\omega} \times (\mathbf{r}_B - \mathbf{r}_A)$ . Нетрудно догадаться, что именно операция векторного произведения и порождает аксиальные векторы. Векторное произведение двух полярных векторов — это аксиальный вектор, и наоборот, векторное произведение полярного и аксиального векторов — это полярный вектор.

Выше мы отмечали, что операция вычисления ротора аналогична векторному произведению. Поскольку  $\mathbf{j}$  — полярный вектор (по сути скорость зарядов), то, глядя на уравнения Максвелла, мы видим, что  $\mathbf{E}$  — полярный, а  $\mathbf{B}$  — аксиальный векторы.

Вернемся к преобразованиям координат. При инверсии  $\mathbf{B}$  не меняется. Что можно сказать об отражении в плоскости, скажем  $xz$ ? Это преобразование можно получить последовательными вращением вокруг оси  $y$  на 180 градусов и инверсией. При вращении  $x$ - и  $z$ -компоненты изменяют знаки, при инверсии компоненты не меняются. Итак,

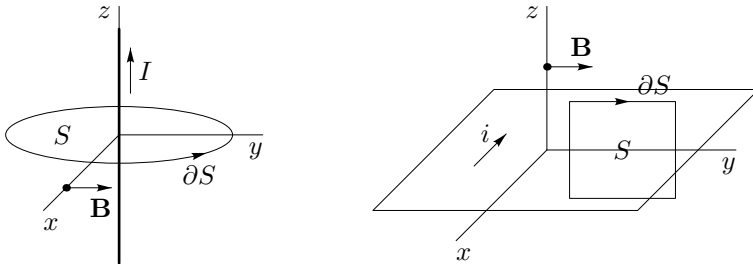


Отражение в плоскости  $xz$  можно получить из вращения на 180 градусов вокруг оси  $y$  и инверсии

при отражении в плоскости  $xz$  компоненты  $B_x$  и  $B_z$  меняют знак, а  $B_y$  не меняется. Заметьте, что это противоположно тому, как ведут себя компоненты вектора  $\mathbf{E}$ .

**Замечание.** Векторный потенциал  $\mathbf{A}$  — полярный вектор, поскольку  $\mathbf{B} = \nabla \times \mathbf{A}$ .

**Использование симметрии. Поля нити, плоскости, трубы.** Рассмотрим тонкую бесконечную нить, по которой течет ток  $I$ . Без ограничения общности будем считать, что нить лежит на оси  $z$ . Рассмотрим точку на оси  $x$ . Что можно сказать о поле  $\mathbf{B}$  в этой точке? При отражении в плоскости  $xz$  распределение тока не меняется, не должно меняться и поле. Однако компоненты  $B_{x,z}$  меняют знак. Следовательно, они равны нулю, а поле на оси  $x$  направлено по оси  $y$ .



К расчету поля прямого тока

К расчету поля тока, текущего по плоскости

Распределение тока не меняется при вращениях вокруг оси  $z$  и сдвигах вдоль оси  $z$ . При этом точка на оси  $x$  на расстоянии  $r$  от начала координат переходит в точку на поверхности цилиндра радиуса  $r$ , ось которого совпадает с осью  $z$ . Следовательно, модуль вектора  $\mathbf{B}$  зависит только от расстояния  $r$  до оси  $z$ , вектор лежит в плоскости  $xy$  и направлен вдоль единичного вектора  $\mathbf{e}_\varphi$  цилиндрической системы координат  $\mathbf{B} = \mathbf{e}_\varphi B(r)$ .

**Домашнее задание.** Проверьте, что поле вида  $\mathbf{B} = \mathbf{e}_\varphi B(r)$  удовлетворяет уравнению  $\nabla \mathbf{B} = 0$ . Указание: воспользуйтесь тем, что  $r = \sqrt{x^2 + y^2}$ ,  $\mathbf{e}_\varphi = (-y/r, x/r, 0)$ .

Неизвестную функцию  $B(r)$  найдем, переписав уравнение  $\nabla \times \mathbf{B} = \mu_0 \mathbf{j}$  в интегральной форме

$$\int_{\partial S} B_\tau dl = \mu_0 I.$$

Это соотношение называют *теоремой о циркуляции* вектора магнитного поля. Направление обхода границы  $\partial S$  согласовано с нормалью к поверхности  $S$  по правилу правого винта. Выберем в качестве поверхности  $S$  круг радиуса  $r$  в плоскости  $xy$  с центром в начале координат. Тогда граница  $\partial S$  — окружность, на которой касательная компонента  $\mathbf{B}$  постоянна и равна  $B(r)$

$$\int_{\partial S} B_\tau dl = 2\pi r B.$$

Ток через поверхность равен  $I$ , окончательно

$$B = \frac{\mu_0 I}{2\pi r}.$$

Это поле *прямолинейного тока*.

Рассмотрим ток, текущий по плоскости. Будем считать, что плоскость совпадает с плоскостью  $xy$ , а ток течет в направлении  $x$ . Рассмотрим поле в точке на оси  $z$ . Распределение тока не меняется при отражении в плоскости  $xz$ . Следовательно, на оси  $z$  поле направлено вдоль оси  $y$ .

Распределение тока не меняется при сдвигах вдоль плоскости  $xy$ . При этом точка на оси  $z$  на расстоянии  $r$  от плоскости переходит в точку на плоскости, отстоящей на  $r$  от плоскости  $xy$ . Следовательно, поле имеет только  $y$ -компоненту, которая зависит только от  $z$ :  $\mathbf{B} = (0, B(z), 0)$ .

**Домашнее задание.** Проверьте, что поле  $\mathbf{B} = (0, B(z), 0)$  удовлетворяет уравнению  $\nabla \mathbf{B} = 0$ .

Распределение тока не меняется при отражении в плоскости  $xy$ . При этом точка  $(0, 0, r)$  переходит в  $(0, 0, -r)$ , а компонента  $B_y$  меняет знак. Мы можем немного уточнить поле:  $\mathbf{B} = (0, (z/|z|)B(|z|), 0)$ .

Неизвестную функцию  $B(|z|)$  найдем, выбирая в теореме о циркуляции поверхность  $S$  в виде прямоугольника, лежащего в плоскости  $yz$ . Две стороны прямоугольника параллельны оси  $y$  и отстоят от нее на равные расстояния, их длина равна  $L$ . Только эти стороны дают вклад в интеграл

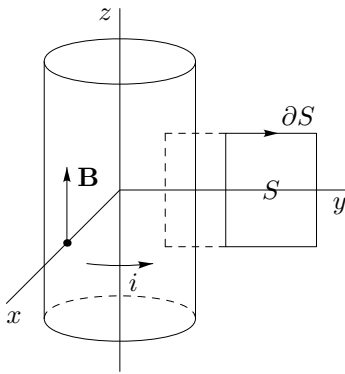
$$\int_{\partial S} B_\tau dl = 2LB.$$

Ток, текущий через поверхность  $S$ , равен  $iL$ , где  $i$  — плотность тока, текущего по плоскости  $xy$ . Окончательно

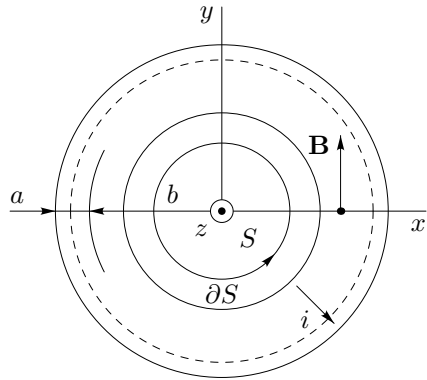
$$B = \mu_0 i/2.$$

Наконец, рассмотрим трубу радиуса  $R$ . Здесь возможны два распределения тока с цилиндрической симметрией: ток может течь вдоль трубы или поперек трубы.

Случай тока, текущего вдоль трубы, аналогичен случаю тонкой нити с током. Поле внутри трубы равно нулю, а поле вне трубы — такое же, как поле нити с током.



К расчету поля тока,  
текущего поперек трубы



К расчету поля тока,  
текущего поперек тороида

Рассмотрим подробнее случай тока, текущего поперек трубы. Пусть ось трубы совпадает с осью  $z$ . Отражение в плоскости  $xy$  не меняет распределения тока. Следовательно, во всех точках в плоскости  $xy$  поле направлено вдоль оси  $z$ .

Распределение тока не меняется при вращении вокруг оси  $z$  и смещении вдоль  $z$ . Таким образом, поле во всем пространстве направлено по  $z$ , а его величина зависит только от расстояния до оси  $z$ :  $\mathbf{B} = (0, 0, B(r))$ ,  $r = \sqrt{x^2 + y^2}$ .

**Домашнее задание.** Покажите, что поле  $\mathbf{B} = (0, 0, B(x, y))$  удовлетворяет уравнению  $\nabla \mathbf{B} = 0$ .

Для определения функции  $B(r)$  рассмотрим поверхность  $S$  в виде прямоугольника, лежащего в плоскости  $yz$ , две стороны которого (длиной  $L$ )

параллельны оси  $z$ . Только эти стороны дают вклад в интеграл в теореме о циркуляции

$$\int_{\partial S} B_\tau dl = L(B(r_1) - B(r_2)).$$

Переходя к пределу  $r_2 \rightarrow \infty$  и считая, что поле далеко от трубы равно нулю, находим, что поле вне трубы всюду равно нулю, а поле внутри трубы равно

$$B = \mu_0 i,$$

где  $i$  — плотность тока, текущего по трубе.

**Замечания.** Как и в электростатике, указанными выше методами можно решать и другие задачи с цилиндрической или “плоской” симметрией.

Суперпозиция двух решений для трубы соответствует “винтовому току”, текущему по трубе.

Еще одна задача, допускающая решение на основании соображений симметрии — поле тока, текущего поперек тороида. Пусть ось тороида совпадает с осью  $z$ , а сам тороид расположен симметрично относительно плоскости  $xy$ . Пусть радиус “бублика” равен  $b$ , а радиус его сечения равен  $a$  (он нам не понадобится). Поверхностная плотность тока, в отличие от прямой трубы, не постоянна. Будем характеризовать ее значением на “средней линии” тороида, пусть плотность тока на ней равна  $i$ . Из симметрии относительно отражения в плоскости  $xz$  следует, что поле в этой плоскости направлено по оси  $y$ . Из симметрии относительно вращений вокруг оси  $z$  тогда следует, что величина поля зависит только от  $r$  и  $z$ , а направлено оно вдоль вектора  $\mathbf{e}_\varphi$  цилиндрической системы координат  $\mathbf{B} = \mathbf{e}_\varphi B(r, z)$ .

**Домашнее задание.** Покажите, что поле  $\mathbf{B} = \mathbf{e}_\varphi B(r, z)$  удовлетворяет уравнению  $\nabla \mathbf{B} = 0$ .

В качестве поверхности  $S$  в теореме о циркуляции выберем круг радиуса  $r$ , лежащий в плоскости, параллельной плоскости  $xy$ , с центром на оси  $z$ . Тогда граница  $\partial S$  — окружность, а циркуляция  $\mathbf{B}$  равна

$$\int_{\partial S} B_\tau dl = 2\pi r B.$$

Ток, текущий через поверхность  $S$ , равен нулю, если окружность лежит вне тороида (так что поле вне тороида равно нулю), и равен  $2\pi b i$ , если окружность лежит внутри тороида. Итак, поле внутри тороида равно

$$B = \mu_0 i b / r.$$

Оно в действительности не зависит от  $z$ , но зависит от  $r$ .

Поскольку метод расчета использует только симметрию, то этим методом можно рассчитать поле для любого тела вращения, а не только для тороида.

**Общее решение.** Как и в электростатике, существует общее решение уравнений для постоянного магнитного поля в вакууме

$$\mathbf{B}(\mathbf{r}) = \int \frac{\mathbf{j}(\mathbf{r}') \times (\mathbf{r} - \mathbf{r}') d^3 r'}{4\pi\epsilon_0 c^2 |\mathbf{r} - \mathbf{r}'|^3}.$$

Эту формулу называют *законом Био—Савара—Лапласа*.

**Замечания.** Мы хотим подчеркнуть, что *все* задачи магнитного поля в вакууме решаются этими формулами *раз и навсегда*. Вам не нужно решать никаких уравнений. Просто подставьте заданное распределение тока и вычислите интеграл.

Для векторного потенциала тоже есть общая формула

$$\mathbf{A}(\mathbf{r}) = \int \frac{\mathbf{j}(\mathbf{r}') d^3 r'}{4\pi\epsilon_0 c^2 |\mathbf{r} - \mathbf{r}'|}.$$

Строго говоря, формулы справедливы для случая, когда  $\mathbf{j}$  отлично от нуля в конечной области пространства. Однако нетрудно убедиться, что они остаются верны и для проводников, уходящих в бесконечность.

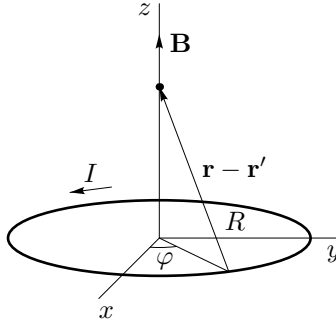
**Домашнее задание.** Переполучите поле прямолинейного тока с помощью закона Био—Савара—Лапласа.

Хотя внешне формулы для  $\mathbf{B}$  и  $\mathbf{A}$  выглядят как следствие принципа аддитивности, мы хотим еще раз подчеркнуть, что принцип аддитивности для магнитных задач является весьма ограниченным. Вычисляя интегралы “кусками”, никогда не нужно забывать, что полное распределение тока  $\mathbf{j}(\mathbf{r})$  должно удовлетворять закону сохранения заряда  $\nabla \cdot \mathbf{j} = 0$ .

Проверить, что выписанные формулы действительно дают решение задачи, не так просто. Сложность, конечно, в том, что, в отличие от электростатики, у нас нет “точечного тока”. Если вы все же захотите проверить эти формулы, то лучше действовать так. Не пытайтесь подставлять формулу для  $\mathbf{B}$  в уравнения. Убедитесь, что потенциал  $\mathbf{A}$  удовлетворяет условию  $\nabla \cdot \mathbf{A} = 0$  и что формула для  $\mathbf{B}$  получается из формулы для  $\mathbf{A}$ , если вычислить ротор (это просто). Заметьте, что формула для  $\mathbf{A}$  полностью аналогична страшной формуле для  $\varphi$  в электростатике, а потому  $\mathbf{A}$  удовлетворяет уравнению  $\Delta \mathbf{A} = -\mu_0 \mathbf{j}$ .

Вычислим поле на оси кругового тока. Пусть ток  $I$  течет по окружности радиуса  $R$  лежащей в плоскости  $xy$  с центром в начале координат. Из соображений симметрии (вращение вокруг оси  $z$ ) на оси  $z$  отлична от нуля только  $z$ -компонента магнитного поля. Вводя полярный угол в плоскости  $xy$ , имеем

$$B_z = \int_0^{2\pi} \frac{[(-I \sin \varphi)(-R \sin \varphi) - (I \cos \varphi)(-R \cos \varphi)] R d\varphi}{4\pi\epsilon_0 c^2 (R^2 + z^2)^{3/2}} = \frac{\mu_0 I R^2}{2(R^2 + z^2)^{3/2}}.$$



Поле на оси кругового тока

Мы использовали тот факт, что

$$\mathbf{r} - \mathbf{r}' = (-R \cos \varphi, -R \sin \varphi, z), \quad \mathbf{j} \sim (-I \sin \varphi, I \cos \varphi, 0).$$

В частности, поле в центре кругового тока равно

$$B = \frac{\mu_0 I}{2R}.$$

**Магнитный диполь.** Как видно из полученной выше формулы, поле кругового тока на его оси остается конечным, если устремить  $R \rightarrow 0$ , сохраняя произведение тока на площадь витка постоянным  $\pi R^2 I = p_m = \text{const}$ . Возникающий при таком предельном переходе источник магнитного поля называют *магнитным диполем* (сравни с электрическим), а величину  $p_m$  — *магнитным моментом* магнитного диполя. Вычислим поле магнитного диполя. Учитывая симметрию относительно вращений вокруг оси  $z$ , для этого достаточно вычислить поле кругового тока в плоскости  $xz$  и перейти к пределу  $R \rightarrow 0$ . Из соображений симметрии (отражение в плоскости  $xz$ , при этом ток меняет направление) поле в плоскости  $xz$  имеет только  $x$ - и  $z$ -компоненты

$$B_x = \int_0^{2\pi} \frac{(I \cos \varphi) z R d\varphi}{4\pi \varepsilon_0 c^2 [(x - R \cos \varphi)^2 + R^2 \sin^2 \varphi + z^2]^{3/2}},$$

$$B_z = \int_0^{2\pi} \frac{[(-I \sin \varphi)(-R \sin \varphi) - (I \cos \varphi)(x - R \cos \varphi)] R d\varphi}{4\pi \varepsilon_0 c^2 [(x - R \cos \varphi)^2 + R^2 \sin^2 \varphi + z^2]^{3/2}}$$

Чтобы перейти к пределу  $R \rightarrow 0$ , разложим знаменатель в ряд Тейлора

$$\frac{1}{[(x - R \cos \varphi)^2 + R^2 \sin^2 \varphi + z^2]^{3/2}} = \frac{1}{(x^2 + z^2)^{3/2}} + \frac{3xR \cos \varphi}{(x^2 + z^2)^{5/2}} + O(R^2).$$



Отличные от нуля члены

$$B_x = \int_0^{2\pi} \frac{(I \cos \varphi) z (3xR \cos \varphi) R d\varphi}{4\pi\epsilon_0 c^2 (x^2 + z^2)^{5/2}},$$

$$B_z = \int_0^{2\pi} \frac{[(-I \sin \varphi)(-R \sin \varphi) - (I \cos \varphi)(-R \cos \varphi)] R d\varphi}{4\pi\epsilon_0 c^2 (x^2 + z^2)^{3/2}} +$$

$$+ \int_0^{2\pi} \frac{-(I \cos \varphi) x (3xR \cos \varphi) R d\varphi}{4\pi\epsilon_0 c^2 (x^2 + z^2)^{5/2}}.$$

Вычисляя интегралы, находим

$$B_x = \frac{3xz p_m}{4\pi\epsilon_0 c^2 (x^2 + z^2)^{5/2}},$$

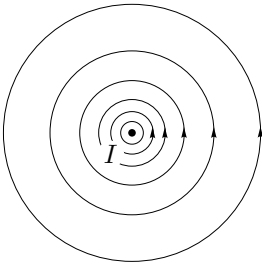
$$B_z = \frac{2p_m}{4\pi\epsilon_0 c^2 (x^2 + z^2)^{3/2}} - \frac{3x^2 p_m}{4\pi\epsilon_0 c^2 (x^2 + z^2)^{5/2}}.$$

Вводя вектор  $\mathbf{p}_m = (0, 0, p_m)$ , можно записать эти формулы в компактном виде

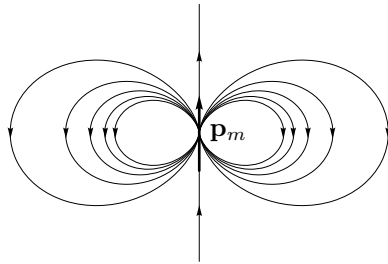
$$\mathbf{B} = \frac{3\mathbf{r}(\mathbf{r}\mathbf{p}_m) - r^2\mathbf{p}_m}{4\pi\epsilon_0 c^2 r^5}.$$

Это и есть поле магнитного диполя.

**Домашнее задание.** Покажите, что векторный потенциал поля магнитного диполя равен  $\mathbf{A} = \mathbf{p}_m \times \mathbf{r} / 4\pi\epsilon_0 c^2 r^3$ .

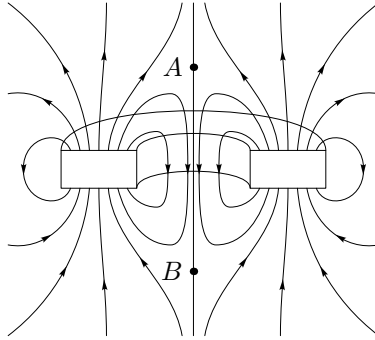


Поле прямого тока



Поле магнитного диполя

**Наглядное изображение магнитного поля. Линии поля.** Магнитное поле, так же как электрическое, можно наглядно изображать линиями



Поле кольцевого магнита

поля, то есть кривыми  $\mathbf{r}(s)$ , где  $d\mathbf{r}/ds = \mathbf{V}(\mathbf{r})$ . Никаких эквипотенциальных поверхностей для магнитного поля нет, поскольку оно, вообще говоря, непотенциально. Для примера на рисунке изображены линии поля для прямолинейного тока и магнитного диполя.

**Домашнее задание.** В журнале “Техника — молодежи” номер 6 за 1991 г. (стр. 2) было сообщено о некоем “научном открытии” кандидата технических наук М. Ф. Острикова. Заключалось оно в том, что кольцевой магнит имеет магнитное поле, схематически изображенное на рисунке (в точках  $A$  и  $B$  поле равно нулю). Предложите разумную модель кольцевого магнита, вычислите поле на его оси и дайте теоретическое объяснение этому “открытию”.

И запомните: я учу вас для того, чтобы вы подобных “открытий” не делали.

## Постоянное магнитное поле в веществе. Магнетики

Как уже отмечалось при рассмотрении проводников и диэлектриков, учение о поле в веществе выходит за рамки собственно ЭМ теории. При наличии вещества помимо “внешних” токов есть еще токи за счет движения зарядов, из которых состоит вещество. Чтобы не вдаваться в сложные вопросы строения вещества, в электростатике мы предложили две простые модели проводника и диэлектрика. Точно так же мы поступим и сейчас.

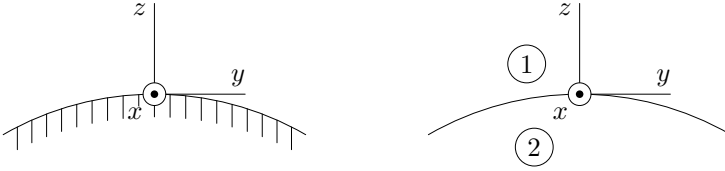
**Сверхпроводники.** Модель сверхпроводника формулируется так: *магнитное поле внутри сверхпроводника равно нулю*. Глядя на уравнения

$$\nabla \mathbf{V} = 0, \quad \nabla \times \mathbf{V} = \mu_0 \mathbf{j},$$

мы видим, что на поверхности сверхпроводника должны выполняться следующие граничные условия

$$B_z = 0, \quad -B_y = \mu_0 i_x, \quad B_x = \mu_0 i_y,$$

где  $i_x, i_y$  — компоненты поверхностной плотности тока. Первое равенство представляет собой собственно граничное условие, а два остальных служат для определения поверхностной плотности тока. Мы видим, что сверхпроводник в магнитном поле представляет собой некоторый аналог проводника в электростатике.



К граничным условиям для сверхпроводника и магнетика

**Вектор намагниченности. Вектор напряженности магнитного поля.** Переходя к рассмотрению магнетиков, мы должны прежде всего написать выражение для молекулярных токов. Мы несколько обобщим задачу: получим выражение для молекулярного тока не только в случае постоянных, но и в случае произвольных переменных полей. Для этого обратимся к полным уравнениям Максвелла

$$\nabla \mathbf{E} = \rho / \varepsilon_0, \quad c^2 \nabla \times \mathbf{B} = \mathbf{j} / \varepsilon_0 + \frac{\partial \mathbf{E}}{\partial t},$$

где  $\rho = \rho_{\text{внешн}} + \rho_{\text{пол}}$ ,  $\mathbf{j} = \mathbf{j}_{\text{внешн}} + \mathbf{j}_{\text{мол}}$ . Результат  $\rho_{\text{пол}} = -\nabla \mathbf{P}$  сохраняет свою силу и в случае переменных полей. Вычисляя дивергенцию от второго уравнения, находим

$$0 = \nabla \left( \mathbf{j}_{\text{мол}} - \frac{\partial \mathbf{P}}{\partial t} \right).$$

В силу одной из “четырёх теорем”

$$\mathbf{j}_{\text{мол}} = \frac{\partial \mathbf{P}}{\partial t} + \nabla \times \mathbf{M}.$$

Вектор  $\mathbf{M}$  называют *вектором намагниченности*. Первое слагаемое в формуле представляет собой вклад за счет изменения поляризации и прямо следует из нашего определения вектора  $\mathbf{P}$ . Второе слагаемое можно наглядно представить следующим образом. Выше мы рассматривали круговой ток и его предельный случай — магнитный диполь. На плотность заряда наличие магнитных диполей не влияет, поскольку заряд в диполе вращается по окружности исчезающе малого радиуса, однако магнитное поле диполи создают, и этому магнитному полю можно формально сопоставить ток  $\nabla \times \mathbf{M}$ .

Уравнение Максвелла для магнитного поля можно теперь записать следующим образом

$$\nabla \times \mathbf{H} = \mathbf{j}_{\text{внешн}} + \frac{\partial \mathbf{D}}{\partial t},$$

где вектор  $\mathbf{H} = \mathbf{B}/\mu_0 - \mathbf{M}$  называется *напряженностью магнитного поля*. Возвращаясь к постоянным полям, запишем уравнения для магнетиков в виде

$$\nabla \mathbf{B} = 0, \quad \nabla \times \mathbf{H} = \mathbf{j}_{\text{внешн}}.$$

Плотность молекулярных токов  $\mathbf{j}_{\text{мол}} = \nabla \times \mathbf{M}$  (сравните с уравнениями для диэлектриков).

**Граничные условия. Материальные уравнения.** Из выписанных уравнений находим граничные условия на границе раздела двух магнетиков

$$B_{z1} = B_{z2}, \quad H_{y1} - H_{y2} = -(i_{\text{внешн}})_x, \quad H_{x1} - H_{x2} = (i_{\text{внешн}})_y,$$

где  $(i_{\text{внешн}})_x$ ,  $(i_{\text{внешн}})_y$  — компоненты поверхностной плотности “внешних” токов. Поверхностную плотность молекулярных токов можно найти из соотношений

$$M_{y1} - M_{y2} = -(i_{\text{мол}})_x, \quad M_{x1} - M_{x2} = (i_{\text{мол}})_y.$$

Как и в случае диэлектриков, нужно как-то связать векторы  $\mathbf{B}$  и  $\mathbf{H}$ . Простейшая модель магнетика, которой мы будем пользоваться, такова

$$\mathbf{B} = \mu\mu_0\mathbf{H}.$$

Постоянную  $\mu$  называют *магнитной проницаемостью* магнетика, а связь  $\mathbf{B}$  и  $\mathbf{H}$  — материальным уравнением.

Насколько известно науке, в природе существуют только диэлектрики с  $\varepsilon > 1$  (хотя термодинамические условия устойчивости требуют лишь

$\varepsilon > 0, \mu > 0$ ). Магнетики же могут иметь как  $\mu < 1$ , так и  $\mu > 1$ . Первые называют *диамагнетиками*, а вторые — *парамагнетиками*.

**Замечания.** Различие между диамагнетиками и парамагнетиками связано с двумя возможными механизмами появления намагниченности  $\mathbf{M}$ . Намагниченность за счет орбитального движения электронов приводит к диамагнетизму, а спиновая намагниченность — к парамагнетизму.

Помимо диа- и парамагнетиков выделяют еще *ферромагнетики* (а также антиферромагнетики, ферримагнетики и прочую нечисть). Все эти вещества характеризуются (при достаточно низких температурах) сильно нелинейной связью  $\mathbf{B}$  с  $\mathbf{H}$ . Изучение свойств этих веществ — задача молекулярной физики и к электромагнетизму не имеет отношения. Мы их рассматривать не будем. При высоких температурах связь  $\mathbf{B}$  с  $\mathbf{H}$  всегда линейна, так что все вещества — либо диамагнетики, либо парамагнетики.

**Домашнее задание.** Решите аналог задачи о диэлектрической пластине в однородном внешнем электрическом поле. Пусть теперь диамагнитная или парамагнитная пластина помещена в однородное внешнее магнитное поле. Нарисуйте линии поля внутри пластины и поверхностные молекулярные токи.

## Понятие самоиндукции и взаимной индукции. Соленоид

Пусть даны два контура  $\partial S_1$  и  $\partial S_2$ . Если по первому контуру течет ток  $I$ , то он создает магнитное поле  $\mathbf{B}$ , потоки которого через первый и второй контуры

$$\Phi_{1,2} = \int_{S_{1,2}} B_n dS$$

пропорциональны току  $I$

$$\Phi_1 = L_1 I, \quad \Phi_2 = M I.$$

Коэффициент пропорциональности  $L_1$  называется *коэффициентом самоиндукции* первого контура (или просто *индуктивностью*), а коэффициент  $M$  — *коэффициентом взаимной индукции*. Если ток  $I$  течет по второму контуру, то аналогично определяются индуктивность второго контура и взаимная индукция

$$\Phi_1 = M I, \quad \Phi_2 = L_2 I,$$

причем коэффициент взаимной индукции оказывается в обоих случаях одинаковым.

**Замечания.** Векторный потенциал поля тока  $I$ , текущего по первому контуру, равен

$$\mathbf{A}(\mathbf{r}) = I \int_{\partial S_1} \frac{\boldsymbol{\tau}_1 dl_1}{4\pi\varepsilon_0 c^2 |\mathbf{r} - \mathbf{r}_1|}.$$

Поток этого поля через второй контур

$$\Phi_2 = \int_{S_2} B_n dS = \int_{S_2} (\nabla \times \mathbf{A})_n dS = \int_{\partial S_2} \mathbf{A}(\mathbf{r}_2) \boldsymbol{\tau}_2 dl_2 = I \int_{\partial S_1} \int_{\partial S_2} \frac{\boldsymbol{\tau}_1 \boldsymbol{\tau}_2 dl_1 dl_2}{4\pi\epsilon_0 c^2 |\mathbf{r}_1 - \mathbf{r}_2|}.$$

Из последней формулы видна симметрия коэффициента взаимной индукции по перестановке индексов 1 и 2.

Индуктивность *бесконечно тонкого* провода обращается, очевидно, в бесконечность. Ее корректное вычисление требует дополнительных предположений о толщине провода и распределении тока в нем. Как мы увидим ниже, для соленоида этой трудности не возникает.

Коэффициенты самоиндукции и взаимной индукции можно ввести для произвольного числа контуров.

Мы рассмотрим два типа *соленоидов* — бесконечный прямой соленоид и тороидальный соленоид.

Прямой соленоид представляет собой провод, навитый на бесконечный цилиндр радиуса  $R$ . По проводу течет ток  $I$ . Пусть на единицу длины приходится  $n$  витков. Если провод тонкий и намотан виток к витку, то хорошим приближением к распределению тока будет труба с текущим поперек током. Поле внутри соленоида однородно, направлено по оси и равно

$$B = \mu_0 n I.$$

Вне соленоида поле равно нулю. При вычислении индуктивности соленоида (на единицу длины) нужно иметь в виду, что магнитный поток пронзает все витки, так что

$$\Phi = N \pi R^2 B = \mu_0 \pi R^2 l n^2 I,$$

где  $N$  — число витков на длине  $l$ . Индуктивность равна

$$L = \mu_0 \pi R^2 l n^2 = \mu_0 V n^2,$$

где  $V$  — объем соленоида.

В тороидальном соленоиде (радиус “бублика”  $b$ , радиус сечения  $a$ ) поле зависит от расстояния до оси

$$B = \mu_0 N I / 2\pi r,$$

где  $N$  — полное число витков. Поле вне тороида равно нулю. Поток равен

$$\Phi = N \int_{-a}^a \frac{\mu_0 N I}{2\pi(b+x)} 2\sqrt{a^2 - x^2} dx = \mu_0 N^2 I (b - \sqrt{b^2 - a^2}).$$

**Замечания.** Интеграл проще всего вычислить по теореме о вычетах.

Аналогично можно вычислить индуктивность любого соленоида, представляющего собой тело вращения.

Индуктивность тороидального соленоида

$$L = \mu_0 N^2 (b - \sqrt{b^2 - a^2}).$$

Если соленоид заполнен магнетиком, то теорема о циркуляции формулируется для вектора  $\mathbf{H}$ . Это означает, что поле  $\mathbf{B}$  возрастает в  $\mu$  раз, во столько же раз возрастает индуктивностью.

## Сила, действующая на тело в магнитном поле. Энергия магнитного поля

**Сила, действующая на тело.** На заряд в ЭМ поле действует сила  $\mathbf{F} = q(\mathbf{E} + \mathbf{v} \times \mathbf{B})$ . Нас сейчас интересует второе слагаемое. Если заряды создают ток с плотностью  $\mathbf{j}$ , то полная сила

$$\mathbf{F} = \int_G \mathbf{j} \times \mathbf{B} d^3 r.$$

Интегрирование ведется по объему тела. Как и в случае электрического поля можно понимать под  $\mathbf{B}$  поле, создаваемое всеми токами, кроме токов в данном теле, а можно учитывать и “самодействие” токов. Удобно выразить силу только через магнитное поле (это особенно удобно при наличии магнетиков, когда токи заранее неизвестны и должны сами определяться по решению задачи).

Вычисления удобно вести в тензорных обозначениях. Уравнения поля имеют вид

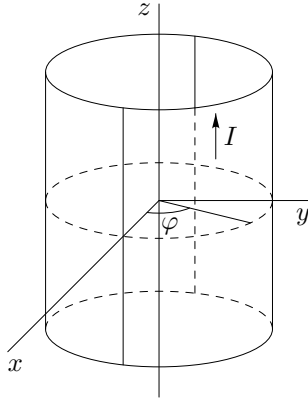
$$\partial_i B_i = 0, \quad \varepsilon_{klm} \partial_l B_m = \mu_0 j_k,$$

где  $\varepsilon_{psklm}$  — антисимметричный тензор,  $\varepsilon_{xyz} = 1$ . Полная сила равна

$$\begin{aligned} F_i &= \int_G \varepsilon_{ikn} j_k B_n d^3 r = \frac{1}{\mu_0} \int_G \varepsilon_{ikn} \varepsilon_{klm} (\partial_l B_m) B_n d^3 r = \\ &= \frac{1}{\mu_0} \int_G (B_l \partial_l B_i - B_n \partial_i B_n) d^3 r = \frac{1}{\mu_0} \int_G [\partial_l (B_l B_i) - \partial_i (B^2/2)] d^3 r = \\ &= \frac{1}{\mu_0} \int_{\partial G} [n_l B_l B_i - n_i (B^2/2)] dS. \end{aligned}$$

Итак,

$$\mathbf{F} = \frac{1}{\mu_0} \int_{\partial G} [\mathbf{B}(\mathbf{B}\mathbf{n}) - \mathbf{n}(B^2/2)] dS.$$



Сплющивание трубы текущим по ней током

В качестве примера вычислим с какой силой (на единицу длины  $L$ ) притягиваются две половинки трубы радиуса  $R$ , по которой течет ток  $I$ . Поле внутри трубы равно нулю, а поле вне на ее поверхности равно  $B = \mu_0 I / 2\pi R$  и направлено по касательной к поверхности. Вводя цилиндрические координаты и интегрируя по правой половине трубы, находим

$$F_y = -\frac{L}{2\mu_0} \int_0^\pi \left(\frac{\mu_0 I}{2\pi R}\right)^2 \sin \varphi R d\varphi = -\frac{\mu_0 L I^2}{4\pi^2 R}.$$

**Сила, действующая на контур с током. Работа по перемещению контура с током в магнитном поле.** В задачах чаще приходится вычислять силу, действующую на тонкий провод с током. Чтобы выполнялся закон сохранения электрического заряда, нужно, чтобы концы провода уходили в бесконечность, либо чтобы провод был замкнутым. В последнем случае говорят о *контуре с током*. Сила, действующая на контур с током, равна

$$\mathbf{F} = I \int_{\partial S} \boldsymbol{\tau} \times \mathbf{B} dl$$

(интегрирование ведется по замкнутому контуру, а такой контур является границей некоторой поверхности, отсюда и обозначение). Аналогично записывается момент сил, действующих на контур

$$\mathbf{M} = I \int_{\partial S} \mathbf{r} \times (\boldsymbol{\tau} \times \mathbf{B}) dl.$$



Как мы знаем еще из механики, момент определен однозначно, независимо от выбора начала координат, только если полная сила равна нулю.

В однородном поле

$$\mathbf{F} = \left( I \int_{\partial S} \boldsymbol{\tau} dl \right) \times \mathbf{B} = 0.$$

Для момента тоже можно получить более простую формулу.

Запишем

$$\mathbf{M} = I \int_{\partial S} \boldsymbol{\tau}(\mathbf{B}\mathbf{r}) dl - I\mathbf{B} \int_{\partial S} (\mathbf{r} dr).$$

Второй интеграл равен нулю. Умножая момент на произвольный вектор  $\mathbf{a}$ , можно преобразовать первый интеграл по теореме Стокса

$$\mathbf{M}\mathbf{a} = I \int_{\partial S} [\mathbf{a}(\mathbf{B}\mathbf{r})]_{\tau} dl = I \int_S (\nabla \times [\mathbf{a}(\mathbf{B}\mathbf{r})])\mathbf{n} dS$$

( $\mathbf{n}$  — нормаль к поверхности  $S$ , согласованная с направлением обхода границы  $\partial S$ ). Вычисляя ротор, получим

$$\mathbf{M}\mathbf{a} = I \int_S (\mathbf{B} \times \mathbf{a})\mathbf{n} dS = \left( I \int_S (\mathbf{n} \times \mathbf{B}) dS \right) \mathbf{a}.$$

Поскольку это равенство выполняется для любого  $\mathbf{a}$ , то

$$\mathbf{M} = I \int_S (\mathbf{n} \times \mathbf{B}) dS.$$

Остается отметить, что интеграл не зависит от выбора поверхности, натянутой на контур.

Итак, момент сил, действующих на контур в однородном поле, равен

$$\mathbf{M} = I \int_S (\mathbf{n} \times \mathbf{B}) dS.$$

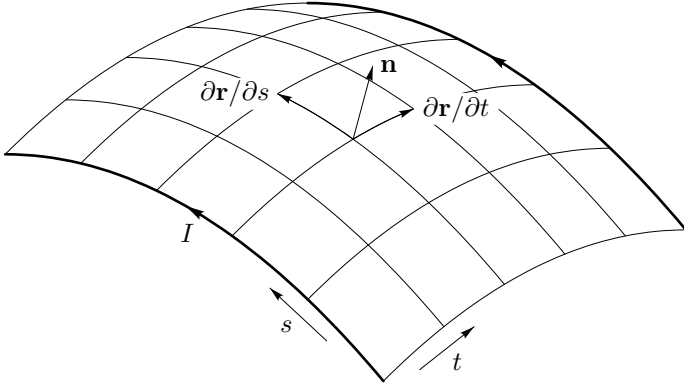
Интегрирование ведется по любой поверхности, натянутой на контур. Если контур плоский, то

$$\mathbf{M} = IS\mathbf{n} \times \mathbf{B},$$

где  $S$  — площадь контура, а  $\mathbf{n}$  — нормаль к плоскости контура. Этот момент стремится сориентировать контур “по полю”.

Вычислим работу по перемещению контура с током в магнитном поле. Решим сначала задачу для нефизического случая незамкнутого контура конечной длины, а затем посмотрим, что даст замыкание концов.

Провод будем описывать параметрически. Это означает, что положение провода определяется функцией  $\mathbf{r}(s)$ ,  $s \in [0, 1]$ . При перемещении провода



Работа по перемещению контура

его положение меняется, так что  $\mathbf{r}$  зависит еще и от  $t$ :  $\mathbf{r}(s, t)$ . Работа за промежутки времени от  $t_1$  до  $t_2$  равна

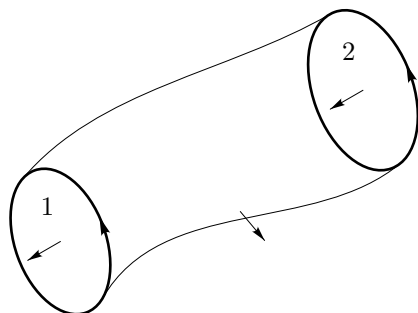
$$\begin{aligned}
 A &= I \int_{t_1}^{t_2} dt \int_0^1 ds \left( \frac{\partial \mathbf{r}}{\partial s} \times \mathbf{B} \right) \frac{\partial \mathbf{r}}{\partial t} = \\
 &= I \int_{t_1}^{t_2} dt \int_0^1 ds \left( \frac{\partial \mathbf{r}}{\partial t} \times \frac{\partial \mathbf{r}}{\partial s} \right) \mathbf{B} = I \int_S B_n dS,
 \end{aligned}$$

где  $S$  — поверхность, которую заметает провод в процессе движения. Нормаль выбирается по правилу: вектор скорости ( $\partial \mathbf{r} / \partial t$ ), касательный к проводу вектор ( $\partial \mathbf{r} / \partial s$ ) и нормаль должны составлять правую тройку. Сам же интеграл — просто поток поля  $\mathbf{B}$  через поверхность. На самом деле можно интегрировать по любой поверхности, которая имеет ту же границу (а граница — это начальное положение провода  $\mathbf{r}(s, t_1)$ , траектория его начальной точки  $\mathbf{r}(0, t)$ , конечное положение провода  $\mathbf{r}(s, t_2)$  и траектория конечной точки провода  $\mathbf{r}(1, t)$ ), поскольку для магнитного поля выполняется уравнение  $\nabla \mathbf{B} = 0$ , что в интегральной форме означает  $\int_{\partial G} B_n dS = 0$ .

Для замкнутого контура поверхность  $S$  представляет собой “трубу”. Торцы этой “трубы” — начальное и конечное положения контура. В силу уравнения  $\int_{\partial G} B_n dS = 0$  интеграл по боковой поверхности “трубы” можно преобразовать в интегралы по торцам. Учитывая направление нормалей, указанное на рисунке,

$$A = I(\Phi_2 - \Phi_1),$$

где  $\Phi_{1,2}$  потоки поля через контур в начальном и конечном положении, при



Преобразование интеграла для замкнутого контура

этом нормаль к поверхности, натянутой на контур, согласована с направлением обхода контура.

**Замечания.** Если контур — твердое тело, то подобная независимость работы от пути дает возможность ввести потенциальную энергию. Однако эта энергия не та, что, например, в однородном поле тяжести. В однородном магнитном поле энергия не зависит от положения вообще, а только от ориентации контура. И конечно же, выражение для энергии согласовано в этом случае с выражениями для силы и момента сил, полученными ранее.

Случай незамкнутого контура тоже имеет физический смысл, если концы контура уходят в бесконечность.

В учебниках по общей физике часто муссируется вопрос о работе силы Лоренца. Мы начали раздел с силы  $q\mathbf{v} \times \mathbf{B}$ , действующей на заряд. Эта сила перпендикулярна скорости заряда, так что работы не совершает. Как же может магнитное поле совершать работу над контуром? Ответ таков: работу в действительности совершают силы, которые поддерживают ток в контуре постоянным. Если бы этих сил не было, то составляющая силы Лоренца вдоль контура, которая всегда возникает при перемещении контура, меняла бы ток в нем. Мы еще вернемся к этому вопросу при обсуждении электромагнитной индукции.

**Энергия магнитного поля.** Поскольку магнитное поле само по себе работы над зарядами не совершает (магнитная составляющая силы Лоренца  $q\mathbf{v} \times \mathbf{B}$  перпендикулярна скорости заряда), то столь наглядной механической интерпретации как в электростатике энергия магнитного поля не имеет.

Физическая картина такова. При изменении магнитного поля в соответствии с полными уравнениями Максвелла возникает электрическое поле, которое и совершает работу над зарядами. Оказывается, что эта работа не зависит от того, насколько медленно (“квасистатически”) мы меняем магнитное поле. В результате для того чтобы создать магнитное поле заданной величины в некоторой области, нужно произвести над зарядами определенную работу. Эта работа и есть энергия созданного магнитного поля.

Мы не станем приводить здесь этот вывод, поскольку он фактически повторяет вывод закона сохранения энергии в случае полных уравнений Максвелла. Мы еще поговорим об этом в конце курса.

Для энергии магнитного поля в вакууме справедливо выражение

$$W = \frac{1}{2\mu_0} \int_G B^2 d^3r.$$

В магнетиках нужно добавить к этому энергию за счет “закручивания” молекулярных токов. Для линейной связи  $\mathbf{B} = \mu\mu_0\mathbf{H}$

$$W = \frac{1}{2} \int_G \mathbf{BH} d^3r.$$

Соответствующие плотности энергии равны  $w = B^2/2\mu_0$  и  $w = \mathbf{BH}/2$ .

Вычислим энергию бесконечного прямого соленоида (на единицу длины). Магнитное поле внутри соленоида равно  $B = \mu_0 nI$ . Энергия

$$W = \frac{1}{2\mu_0} B^2 V = \frac{1}{2} (\mu_0 n^2 V) I^2 = \frac{LI^2}{2}$$

( $V$  — объем соленоида). Последняя формула остается справедливой и для соленоида, заполненного магнетиком, и для тороидального соленоида.